

برآورد میزان کوتاهشده و نقش سطوح جدایش در دگریختی کپه‌داغ باختری (بجنورد-آشخانه)

زهرا تشکری^(۱)، منوچهر قرشی^(۲) و محسن پورکرمانی^(۳)

۱. دانشجوی دکتری، دانشکده علوم پایه، دانشگاه آزاد اسلامی، واحد تهران شمال
۲. دانشیار، دانشگاه آزاد اسلامی، واحد تهران شمال، سازمان زمین‌شناسی و اکتشافات معدنی کشور، پژوهشکده علوم زمین، تهران
۳. استاد، دانشگاه آزاد اسلامی، واحد تهران شمال

تاریخ دریافت: ۹۸/۰۶/۱۵

تاریخ پذیرش: ۹۸/۰۸/۱۵

چکیده

یهنه ساختاری-رسوبی کپه‌داغ از روزاسیک میانی و پس از کوهزاد سیمیرین میانی تا ائوسن در حال فرونشینی و انباشت رسوبات بوده است و آغاز کوتاهشده در آن به برخورد کوهزاد زاگرس در پالاؤزن باز می‌گردد. به‌منظور شناسایی کانی‌ها در سطوح جدایشی، نمونه‌هایی از اواحدهای سازند شمشک و چمن بید اخذ و آزمون XRD روی آن‌ها انجام شده است. از سوی دیگر برآورد کوتاهشده در کپه‌داغ باختری و مرکزی در دو برش عرضی با روند تقریبی شمالی-جنوی طراحی شده با استفاده از داده‌های قلی، برداشت‌های صحرایی، نقشه‌های زمین‌شناسی و تصاویر ماهواره‌ای، در نرم‌افزار سه‌بعدی موورسم و محاسبه شد. بررسی برش‌های رسم شده به صورت سه‌بعدی در نرم‌افزار موو که از نوآوری‌های این پژوهش محسوب می‌شود، مشخص کرد اغلب تاقدیس‌های منطقه از نوع نامتقارن هستند که این عدم تقارن به‌واسطه کارکرد افق‌های جدایش ایجاد شده است. نتایج آنالیزها مشخص می‌کند سازند شمشک به دلیل ضخامت و کانی‌شناسی پتانسیل بیشتری نسبت به سازند چمن بید در ایجاد سطوح جدایشی در این منطقه دارد. از سوی دیگر با استفاده از رابطه‌های هندسی عمق سطوح جدایش برای چین‌خوردگی‌های اصلی محاسبه شد که در اغلب آن‌ها سطح جدایشی در ترازهای پایینی سازند شمشک محاسبه شد.

واژه‌های کلیدی: کپه‌داغ باختری، سطوح جدایش، سازند شمشک و چمن بید، کوتاهشده، نرم‌افزار سه‌بعدی موو.

مقدمه

ایالت زمین‌ساختی کپه‌داغ به عنوان بخشی از کوهزاد آلپ-هیمالیا در آسیای باختری، کمرنگی چین‌خوردگه با راستای میانگین N120 و درازی نزدیک به ۷۰۰ کیلومتر در طول مرز سیاسی کشور ایران و ترکمنستان، از دریای کاسپین تا افغانستان گسترش یافته است

* نویسنده مرتبط: Zahratashakkory@yahoo.com

اول آنکه ویژگی سطوح جدایش در این حوضه با توجه به پارامترهای کانی‌شناسی موربد بحث قرار گرفته است و همچنین بهمنظور بازسازی و مدل‌سازی رفتار سطح جدایشی از نرم‌افزار تخصصی MidlandValey3D Move برای اولین بار در این حوضه با توجه به سطح داده‌ها بهره‌گرفته شده است.

روش مطالعه

پورتقوی و همکاران (۱۳۹۰) در محدوده کپه‌داغ مرکزی و باختری ۵ برش عرضی را رسماً و بررسی کردند. در این پژوهش ۲ برش عرضی ساختاری-رسوبی آنها در کپه‌داغ مرکزی و باختری (برش ۱ در خاور ۵۷E و برش ۲ در باختر ۵۷E) از پایه مطالعات ایشان انتخاب و براساس داده‌های میدانی و همچنین اطلاعات حاصل از پژوهش‌های جدید که در اطراف محدوده انجام شده بود به روزرسانی شد (شکل ۱).

چینه‌شناسی عمومی کپه‌داغ

رخنمون سنگ‌های دوران اول و سنگ‌های تریاس رخنمون سنگ‌های جنوبی دوران اول و سنگ‌های منحصر و زوراسیک پیشین منحصر به حاشیه جنوبی منطقه که در ضمن حاشیه جنوبی حوضه رسوبی را نیز تشکیل می‌دهند، می‌باشد. سنگ‌های رسوبی کرتاسه و دوران سوم در حاشیه جنوبی ضخامت کمی را دارا می‌باشند (افشار‌حرب، ۱۳۷۳). ردیفهای تریاس بالای کپه‌داغ، همانند دیگر نواحی ایران، از نوع انباشت‌های شیلی و ماسه‌سنگ‌های زغال دار است که با دگرگشی بر روی سنگ‌های کهن‌تر نشسته‌اند. همانندی ردیفهای تریاس بالای کپه‌داغ با ردیفهای هم‌زمان در البرز و ایران مرکزی می‌تواند نشانه پایان یافتن کافت جنوب کپه‌داغ و پیوند دوباره کپه‌داغ و صفحه ایران باشد که در این میان شیل و ماسه‌سنگ‌های تیره‌رنگ سازند کشفرود، به سن لیاس-بازوسرین، نشانگر نهشت‌های پیش‌خشکی لیاس-زوراسیک میانی (سازند شمشک) ایران میانی و شمالی است (آفانباتی، ۱۳۸۵).

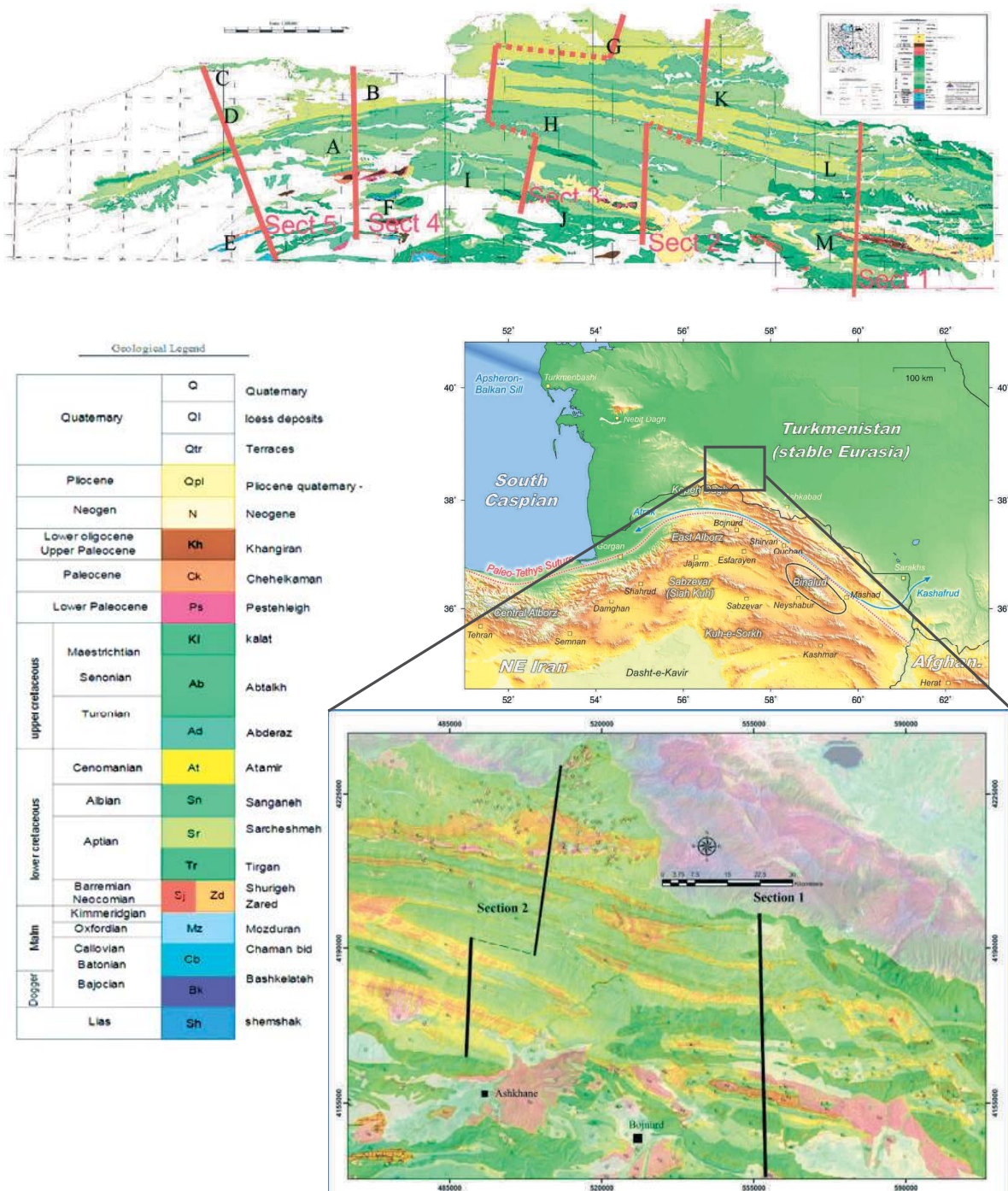
در آغاز پالئوسن پسین دریا به صورت جداگانه از شمال خاور و شمال باختر آغاز به پیش‌روی کرده ولی خشکی کم‌شیب و کم‌ارتفاعی در شمال بجنورد میان دو دریا وجود داشته است (افشار‌حرب، ۱۳۷۳). از اوایل ائوسن پسین،

واحدهای کهن‌تر (تریاس و یا پالئوزویک) قرار گرفته است. این دگرگشیبی به روشنی در رخنمون‌های سطحی پنجه آق دریند و همچنین در نیمرخ‌های بازتاب لرزه‌ای ناحیه دیده می‌شود (Robert et al., 2014). پس از سازند کشفرود، ستبرای بیش از ۷۰۰۰ متر از رسوبات تا زمان سنتزوزویک در این ناحیه نهشته گردیده است که در برخی موارد نبودهای رسوبی ناشی از خشکی‌زایی در میان آنها گزارش شده است. همه این رسوبات به سمت باخته توسط واحدهای دریابی ضخیم به سن پلیوسن پوشیده می‌شوند و به سمت خاور، به سکانس‌های قاره‌ای با سن مشابه تبدیل شده‌اند (Jackson et al., 2002; Afshar Harb, 1979).

فاز اصلی فشارش در ناحیه کپه‌داغ در زمان ائوسن پسین و در بی‌بسته شدن اقیانوس تیس جوان رخ داده است (Robert et al., 2014). از آنجاکه شکل‌گیری حوضه کپه‌داغ در یک رژیم زمین‌ساختی کششی بوده است، این گام فشارشی سبب وارونگی زمین‌ساختی حوضه و کارکرد دوباره گسل‌های بی‌سنگی و تبدیل آنها به گسل‌های وارون گردید (Berberian and King, 1981).

این حوضه براساس ویژگی‌های ساختاری به سه بخش باختری، مرکزی و خاوری در درازای خود تقسیم می‌شود (افشار‌حرب، ۱۳۷۳). هالینگورث و همکاران (Hollingsworth et al., 2007) براساس مطالعاتی که در این گستره انجام دادند، با توجه به ویژگی‌های زمین‌ساختی فعال، لرزه‌خیزی و برآورده‌آنگ لغزش و دیگر داده‌ها، طول جغرافیایی ۵۷E را به تقریب مرز میان کپه‌داغ باختری و مرکزی، همخوان با سامانه گسل‌های شمال باخته جنوب خاور می‌داند.

به طور کلی می‌توان گفت که ویژگی‌های ساختاری و میزان کوتاهشده‌گی در تمام پهنه کپه‌داغ مقداری ثابت نیست. براین اساس در پژوهش حاضر با استفاده از داده‌های صحرائی و دفتری در کپه‌داغ باختری و مرکزی تلاش خواهد شد که میزان کوتاهشده‌گی (به صورت سه‌بعدی و دو‌بعدی) مقایسه شود. علاوه بر آن با توجه به اهمیت سطوح جدایش در شکل‌گیری ساختارهای زمین‌ساختی، از دیدگاه مهندسی به ویژگی‌های سطوح گسسته در این حوضه اشاره‌ای خواهد شد. نوآوری حاصل شده در این مقاله را می‌توان در دو بخش عنوان کرد.



شکل ۱. (الف) نقشه زمین‌شناسی ناحیه کپه‌داغ باختری و موقعیت برش‌های عرضی معرفی شده توسط پورتقوی و همکاران (۱۳۹۰)،
ب) موقعیت برش‌های عرضی شماره ۱ و ۲ معرفی شده در این پژوهش

الیگوسن کپه‌داغ، حدود ۶۰۰۰ متر برآورد می‌شود و با وجود تداوم ظاهری رسوب‌گذاری، مطالعه دیرینه جغرافیای کپه‌داغ، نشان می‌دهد که هم‌زمان با فازهای کوه‌زایی و زمین‌زایی، شواهدی از پیشروی و پسروی مکرر دریا وجود دارد.

دریا آغاز به عقب‌نشینی کرده و تنها در نواحی سرخس و درگز تداوم دریا از ائوسن به الیگوسن گزارش شده است. از اواسط الیگوسن پیشین به بعد، دریا به طور کامل پسنشسته و فقط در زمان نئوزن حوضه‌های میان‌کوهی، شکل گرفته است که ضخامت سنگ‌های لیاس-

در ناحیه کپه‌داغ باختری سازندی که دارای ضخامت زیادی از رسوبات تبخیری که بتواند به عنوان افق جدایش مانند زاگرس عمل کند، وجود ندارد. اما رسوبات دیگری هستند که می‌توانند این نقش را به عهده بگیرند. برای شناسایی این سازندها نیاز است تا ضخامت، سنگ‌شناسی و حتی رفتار آنها در شرایط تنفس و گرمای (شرایط عمق) مورد ارزیابی قرار گیرد. براین اساس ضخامت سازندهای حوضه کپه‌داغ و جایگاه چینه‌شناسی آنها مورد بررسی قرار گرفته شده است (شکل ۲).

چینه‌شناسی مکانیکی کپه‌داغ باختری و مرکزی و نتایج نمونه‌های XRD

در رسم برش‌های ساختاری-رسوی شناسایی رفتاری مکانیکی سازندها بسیار حائز اهمیت است. امروزه ویژگی‌های مهندسی واحدهای سنگی در حوضه‌های رسوی شناسایی می‌شود تا بتوانند در فعالیت‌های حفاری مورد استفاده قرار گیرند. در نگاهی دیگر می‌توان از این داده‌ها در شناسایی رفتار پلاستیک و یا به عبارت دیگر شناسایی سطوح جدایش استفاده کرد (Ruh et al., 2017).

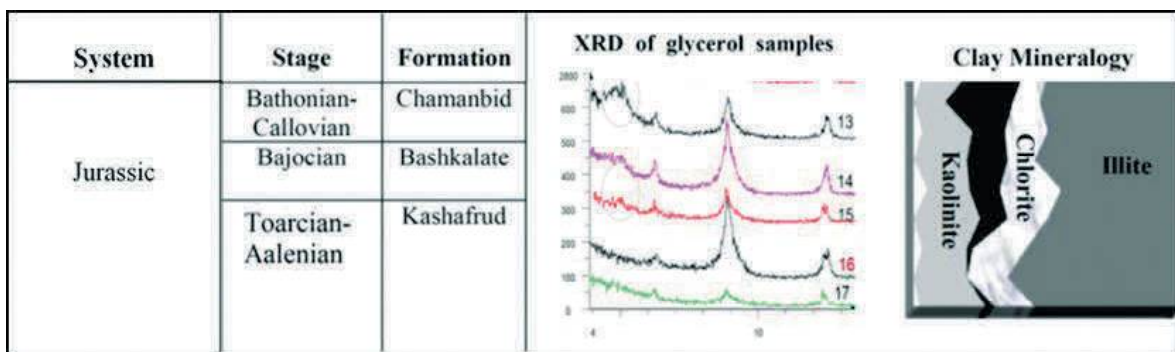
Stage	Formation	Major lithology		Thickness, m (NIOC Report, Afshar Harb, 1994)				
				Thickness in KD basin		Wells (drilled for gas exploration)		
		max	min	Khangiran 1	Gonbadli 1	Gonbadli 3		
Pliocene	Aghchegil	Ag	yellow limestone, yellow sandstone	19	19			
Upper Paleocene-Eocene	Khangiran	Kh	sandstone, calcareous shale	850	145			
Paleocene	Chelkaman	Chk	limestone, dolomite	229	127	220	230	193
Lower Paleocene	Pesteligh	Ps	shale, mudstone, sandstone	424	126	55	110	140
Maastrichtian	Kalat	Kt	limestone, calcareous shale	277	145	80	70	60
Maastrichtian	Neizar	Nz	glauconitic sandstone and shale	318	184	230	220	200
Santonian-Campanian	Abtalkh	Abt	calcareous shale	813	140	260	140	118
Turonian-Coniacian	Abderaz	Abd	white chalky limestone, calcareous shale	350	188	440	510	430
Albian-Cenomanian	Aitamir	At	glauconitic sandstone, glauconitic shale	1000	73	420	480	480
Albian	Sanganeh	Sn	shale	740	740	210	263	211
Aptian	Sarcheshmeh	Sr	marl, thin limestone and shale	310	110	220	200	187
Ncocomian-Aptian	Tirgan	Tr	limestone, marl	778	31	40	30	25
Neocomian	Shurijeh	Sh	shale, mudstone, sandstone	1196	246	270	250	246
Oxfordian-Kimmeridian	Mozdurian	Mz	micritic limestone, dolomite	1440	220			
Bathonian-Callovian	Chamanbid	Ch	micritic limestone, marl	1722	316			
Bajocian	Bashkalate	Ba	calcareous shale	460	140			
Toarcian-Aalenian	Kashafrud	Ka	shale, sandstone	1800	1800			
		Thickness (Tertiary & Upper Cretaceous)		2411	983	1705	1760	1621
		Thickness (Lower Cretaceous & Jurassic)		8446	3603	-	-	-
		SUM		10857	4586	-	-	-

شکل ۲. جدول سنگ‌شناسی و ضخامت سازندهای رسوی تهیه شده در حوضه کپه‌داغ (Afshar Harb, 1994)

کلریت و ۲۵ درصد کائولینیت برای چمن‌بید (شکل ۳) را نشان داده (Khormali and Amini, 2015) که با توجه به ضخامت حدود ۱۵۰۰ تا ۱۸۰۰ متر سازند کشف‌رود و همچنین سازند چمن‌بید نیز با داشتن رسوبات شیلی و ضخامت حدود ۳۰۰ تا ۱۷۰۰ متر پتانسیل بالای آن را در نقش سطوح جدایش در این حوضه مشخص می‌کند.

به منظور بررسی کانی‌شناسی این دو سازند در نزدیکی برش‌های معروفی شده، تعداد سه نمونه از سازند شمشک و ۲ نمونه از سازند چمن‌بید اخذ شد (شکل ۴). نمونه‌گیری از واحد رسوی شمشک نشان‌دهنده میزان ۵۰ درصد کانی

براساس داده‌ها و شواهد میدانی سازند شمشک (معادل سازند کشف‌رود در بخش خاوری) با سن ژوراسیک میانی به دلیل داشتن رسوبات شیلی-ماسه‌سنگی و میان‌لایه‌های ذغالی می‌تواند به عنوان افق جدایش اصلی منطقه عمل کند، که ضخامت زیاد سازند شمشک، شکل پذیری آن را تشدید می‌کند. مطالعات XRD بر روی واحدهای سنگی سازند کشف‌رود در شمال شهر مشهد (خاور محدوده مورد بررسی) و چمن‌بید در (باختر شهر بجنورد) میزان ۵۵ درصد کانی‌ایلیت، ۱۵ درصد کلریت و ۲۵ درصد کائولینیت را برای سازند کشف‌رود و میزان ۵۰ درصد کانی‌ایلیت، ۱۵ درصد



شکل ۳. نتایج مطالعات XRD انجام شده توسط (Khormali and Amini, 2015) در حوضه کپه‌داغ بر روی سازندهای چمن بید، باشکلاته و کشفرود

جابجایی زیاد شده‌اند وجود نداشته باشد، زیرا با توجه به هدف این پژوهش که بازسازی این برش‌ها است، وجود چنین گسل‌هایی، بازسازی را دچار خطا خواهد کرد.

برش ۱-برش ناویدیس شیخ

برش ۱ با طول حدود ۵۳ کیلومتر در خاور طول ۵۷E از ۴ کیلومتری شمال روستای نوده (۲۲ کیلومتر خاور بجنورد) آغاز شده و با روندی شمالی-جنوبی تا نزدیکی مرز ایران و ترکمنستان ادامه می‌یابد. پس از برداشت داده‌ها، برش‌ها در نرم‌افزار مومو به صورت دو بعدی و سه‌بعدی به روزرسانی و رسم شد (شکل ۶). از دیدگاه چینه‌شناسی این برش شامل توالی مزوژوییک و سنوزوییک کپه‌داغ است. در پیمایش از جنوب به سمت شمال در امتداد این برش مشخص می‌شود، واحدهای آهکی سازند تیرگان از واحدهای سیماساز اکثر ارتفاعات این منطقه می‌باشند. به طور کلی در بخش جنوبی برش اغلب واحدهای سنگی تیرگان و سرچشمه بروند دارند و به سمت شمال، در هسته ناویدیس‌ها، سازندهای سنگانه و آیتمیر آنها را پوشانده‌اند. در این برش رسوبات جوان تراز سازند آیتمیر به اندازه دیده می‌شود و تنها در ناویدیس شیخ، رسوبات سنوزوئیک مشاهده می‌شوند. به گزارش افسار حرب (۱۳۷۳) در مرکز کپه‌داغ، ناویدیس شیخ در شمال بجنورد تنها جایی است که سازند پسته‌لیق در آن حفظ شده و ۳۲۵ متر ضخامت دارد. علاوه بر آن در این برش از جنوب به سمت شمال از ضخامت سازند شوریجه کاسته شده و به سازند زرد تبدیل می‌شود.

از دیدگاه ساختاری ساختمان‌های چین خورده

ایلیت، ۱۵ درصد کلریت، ۲۰ درصد کائولینیت و ۱۰ درصد مونت‌مورینولیت است. وجود این میزان کانی‌های رسی سبب خواهد شد که پارامترهای برشی این توده سنگ به‌گونه‌ای شود که در شرایط حرارت و عمق، زاویه اصطکاک داخلی آن کاهش یابد و پتانسیل ایجاد رفتار پلاستیک در این سنگ را ایجاد کند.

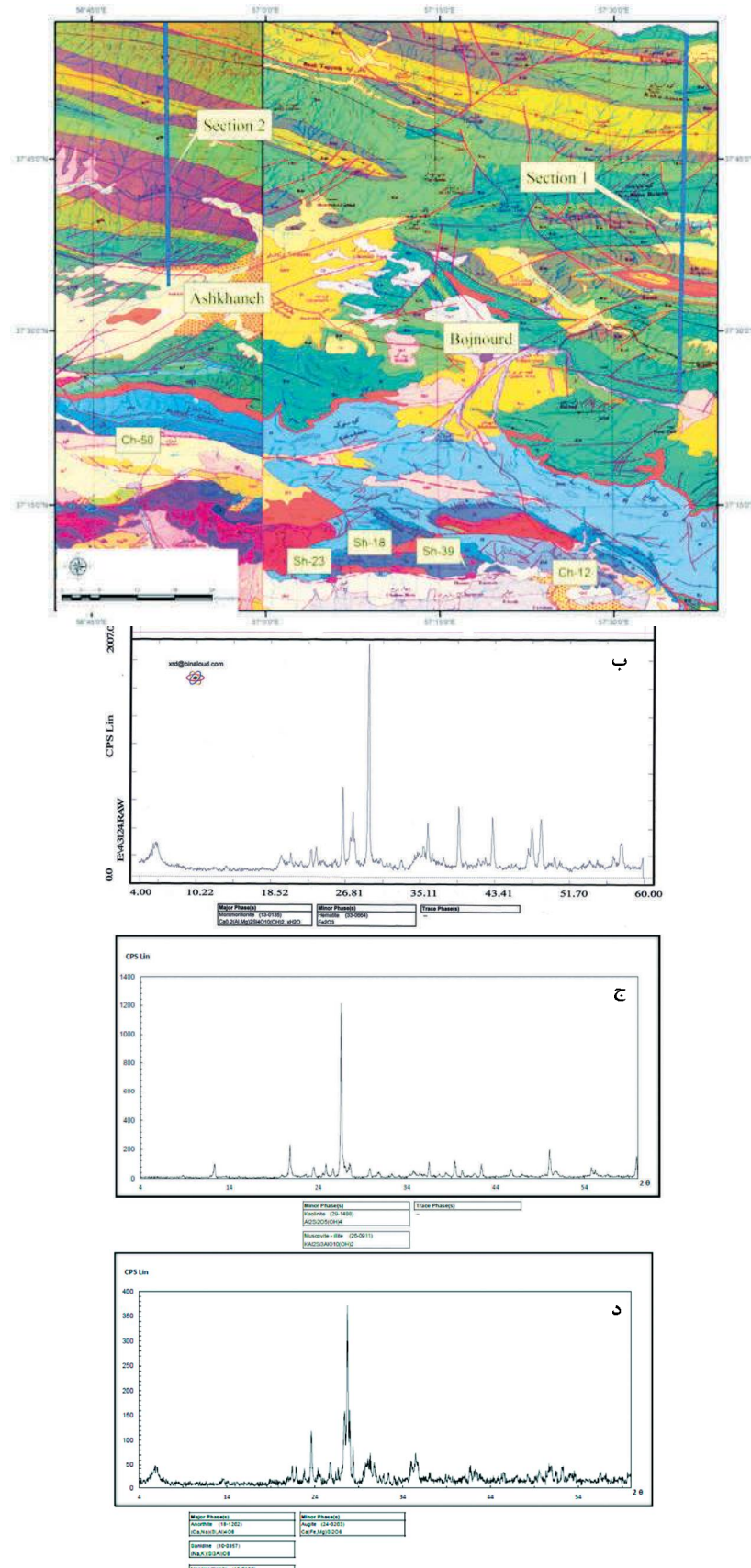
نمونه‌گیری از واحد رسوبی سازند چمن بید نشان‌دهنده میزان ۵۰ درصد کانی ایلیت، ۱۵ درصد کلریت و ۲۵ درصد کائولینیت برای این سازند است (شکل ۵). بررسی سنگ‌شناسی برخی از سازندها مانند سازند مزدوران که اغلب با وجود سنگ‌آهک‌های مقاوم شناخته می‌شود نشان داد در برخی مناطق این سازند شامل واحدهای مارن، شیل، انیدریت و گچ هستند. به عنوان مثال در چاه گنبدلی ۲ سازند مزدوران شامل ۹۰۰ متر ضخامت است که تنایی از سنگ‌های کربناته و انیدریت می‌باشد و یا در کوه قره‌خود (جنوب باختر شهر بجنورد) سازند مزدوران شامل ۱۶۰ متر مارن، شیل و سنگ‌آهک‌های نازک لایه است (افشار حرب، ۱۳۷۳). از سوی دیگر نیز مطالعات XRD بر روی واحدهای سنگی این سازند در موقعیت "N 37° 20.3' E 55° 38' 25.5'" نتایج مشابه سازندهای کشفرود و چمن بید را نشان داده است (Khormali and Amini, 2015).

برش‌های ساختاری

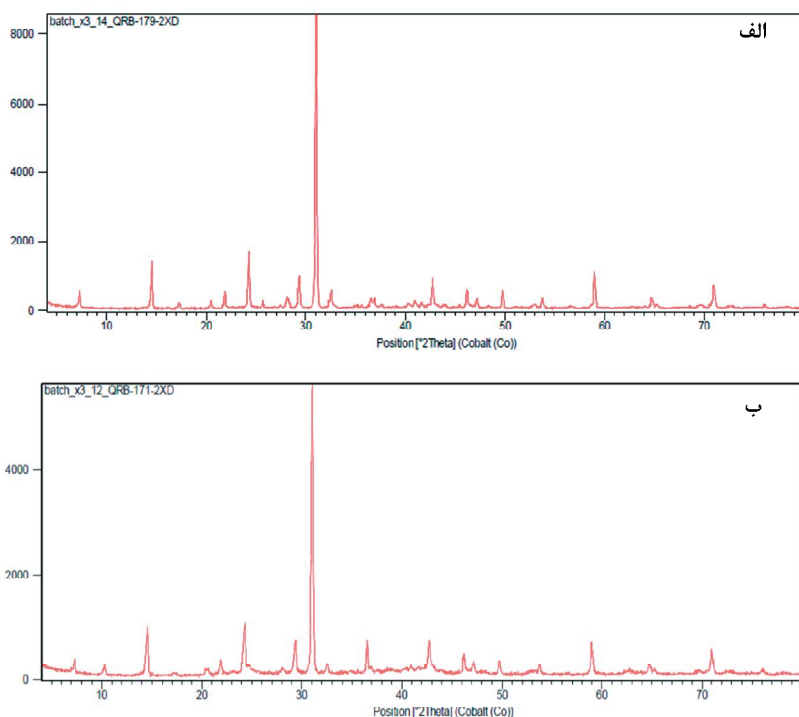
برش ۱ در کپه‌داغ مرکزی (برش ناویدیس شیخ) و برش ۲ در کپه‌داغ باختری (برش آشخانه) پیمایش شده است (شکل ۱). در انتخاب این برش‌ها سعی شد از محلهای استفاده شود که گسل‌های امتدادلغز اصلی و بزرگ که سبب

1. Move (Midland Valley)

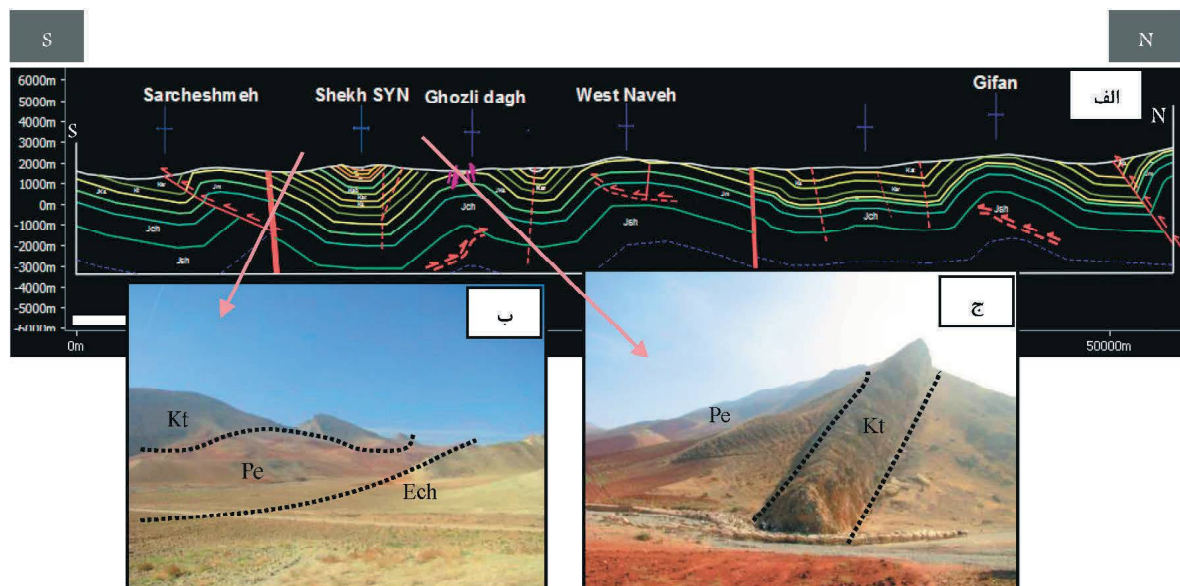
برآورد میزان کوتاهشگی و نقش سطوح جدایش در دگریختی کپه‌داغ باختری ...



شکل ۴. (الف) موقعیت نمونه‌های اخذ شده در این پژوهش از سازند شمشک (کشف رود) CH و چمن بید SH نسبت به موقعیت برش‌های ۱ و ۲، (ب) نتایج XRD نمونه SH-23، (ج) آنالیز XRD نمونه SH-18، (د) آنالیز XRD نمونه SH-39



شکل ۵. نتایج آنالیزهای XRD بر روی نمونه‌های (الف) CH-12، (ب) CH-50



شکل ۶. (الف) برش بازبینی شده (رسم به روش شکن) در نرم افزار موو، دو بعدی، (ب) نمایی از یال جنوبی ناودیس شیخ و رخنمون سازندهای کلات (Kt)، پسته‌لیق (Pe) و چهل کمان (Ech)- دید به باخته، (ج) رخنمون سازندهای کلات و پسته‌لیق در یال شمالی ناودیس شیخ- دید به باخته

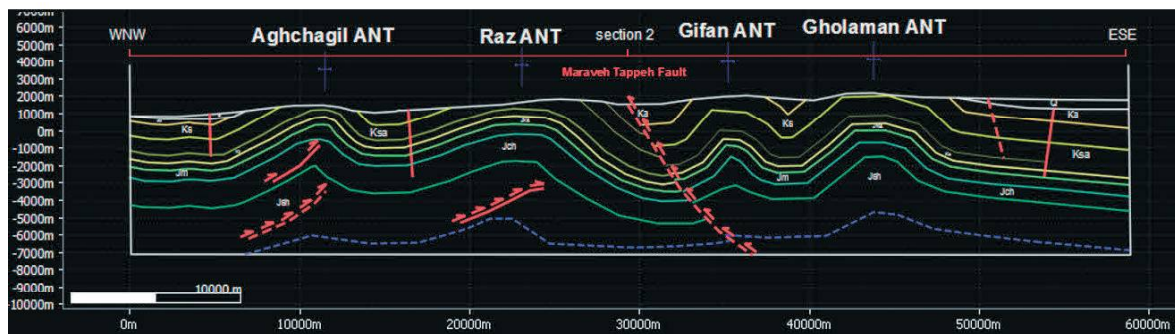
ناودیس شیخ در جنوب، ناوه باخته در مرکز و تاقدیس گیفان در شمال مهمترین ساختمانهای چین خورده این برش می‌باشند. تاقدیس‌های این برش اغلب نامتقارن هستند، به طوری که شیب یال جنوبی بیشتر از یال شمالی است و سبب شده تمایل تاقدیس‌ها به سمت جنوب باشد که به نظر می‌رسد این اختلاف شیب لایه‌بندی در شمال از دیگر ساختارهای مهم دیده شده در این برش گسل‌های و جنوب در ارتباط با کارکرد افق‌های جدایش باشد. نکته دارای اهمیت دیگر در ارتباط با این برش، تفاوت در زرفاوی ناودیس‌ها است به‌گونه‌ای که با توجه به رخنمون سازند خانگیران در ناودیس شیخ می‌توان انتظار داشت که این بخش، زرفاوی بیشتری نسبت به نواحی مجاور داشته باشد. از دیگر ساختارهای مهم دیده شده در این برش گسل‌های

نزدیکی مرز سیاسی ایران و ترکمنستان ادامه می‌یابد. از لحاظ چینه‌شناسی این برش تنها شامل توالی مزوبیک کپه‌داغ است و برخلاف برش ۱، واحدهای جوان‌تر از سازند آیتامیر در این برش دیده نمی‌شود (شکل ۷). واحد سنگی سازند سرچشمه، در اکثر طول برش در تاقدیس‌ها بر روی سطح زمین دیده می‌شود و در هسته ناویدیس‌ها اغلب سازند آیتامیر بروزد دارد. در این برش واحدهای سنگی سازند سوریجه به سازند زرد تبدیل شده‌اند که رخمنون آن در جنوب مکان شروع این برش دیده می‌شود (شکل ۷).

NW-SE امتدادلغزی است که اغلب کارکرداستگر را نشان می‌دهند. همچنین در کیلومتر ۱۰ این برش نیز، گسل اصلی راندگی دیده می‌شود که در این محل سبب راندگی آهک‌های تیرگان بر روی مارن‌های سبز سازند سرچشمه شده است. به طور کلی گسل‌های امتدادلغز با روند NW-SE به فراوانی در این برش دیده می‌شود به خصوص با گذر از ناویدیس شیخ به سمت شمال تراکم این گسل‌ها افزایش می‌یابد.

برش ۲-برش آشخانه

این برش از ۱۲ کیلومتری شمال باختر شهر آشخانه آغاز شده و پس از طی حدود ۶۰ کیلومتر به سمت شمال تا

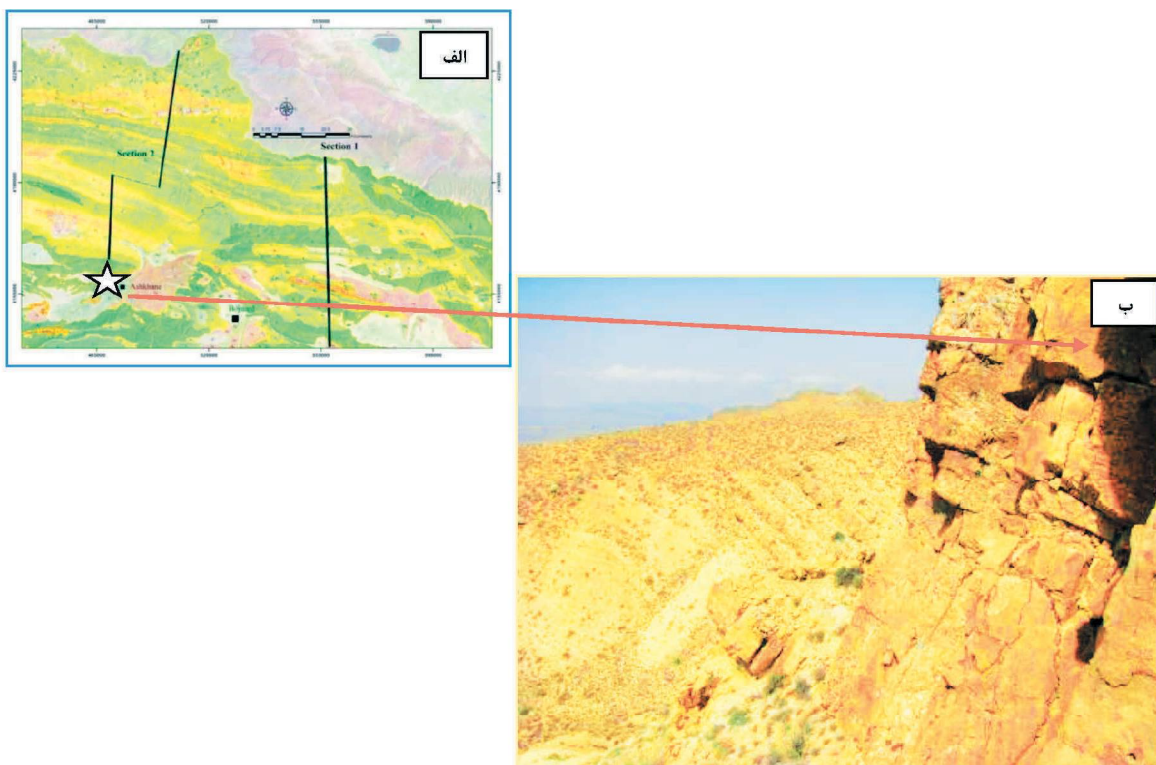


شکل ۷. برش بازبینی شده که تا افق ژوراسیک به روش شکن در نرم‌افزار موو رسم شده است

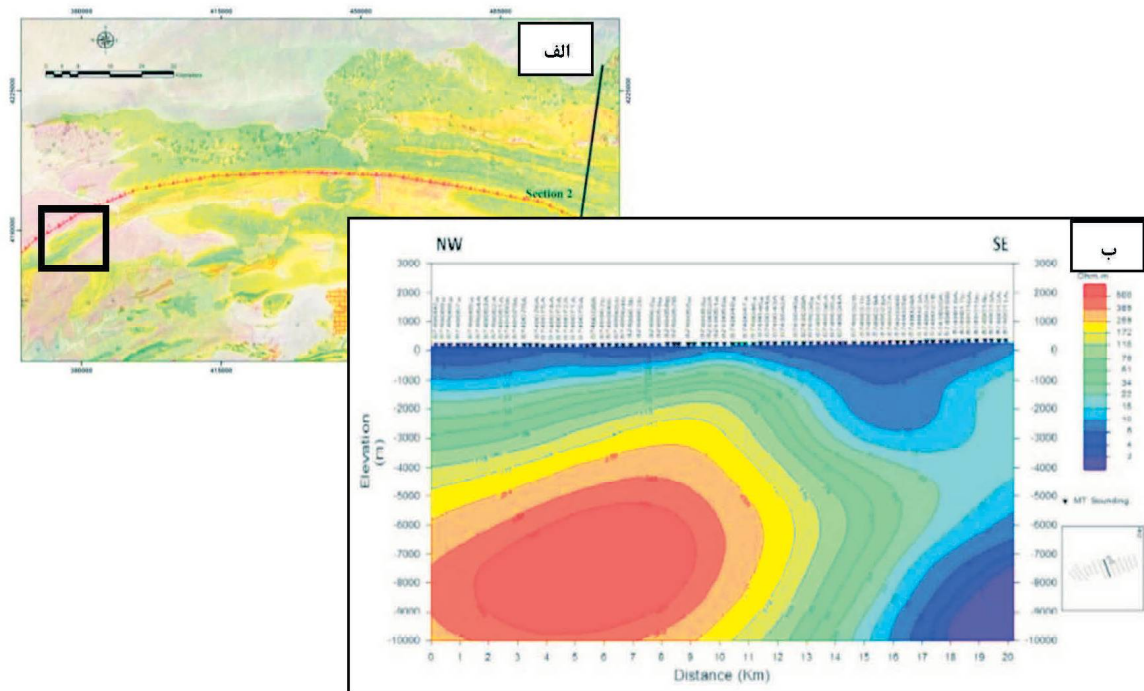
تشکیل حوضه رسوی نقش داشته است یاد می‌کند که در آخرین مراحل زمین‌ساختی به صورت معکوس و یا راندگی عمل کرده است. به منظور شناسایی ویژگی‌های این گسل در عمق نیاز به داده‌های زیرسطحی می‌باشد که در این پژوهش از مطالعات هاشمی و همکاران (۱۳۹۳) استفاده شده است. ایشان در منطقه کرند (شکل ۸) با بررسی مدل وارون حاصل از مدل‌سازی دو بعدی، ۱۵ پروفیل رسم کرده است و سعی در آشکارسازی گسل مراوه‌تپه به روش مگنتوتولویریک داشته است. نتایج حاصل شده، ساختارهای زمین‌شناسی را به صورت لایه‌ای (لایه‌بندی) و با چین‌خوردگی که نمایانگر تاقدیس و ناویدیس کرند هستند، نشان داد. همچنین اثر گسل مراوه‌تپه در جنوب پروفیل رسم شده (شکل ۹-ب)، با قرارگیری لایه‌های با مقاومت ویژه بالا بر روی لایه‌های با مقاومت ویژه پایین مشاهده می‌شود که به وسیله آن می‌توان رفتار این گسل بی‌سنگی را تا عمق (۱۰۰۰۰- متر) و همچنین تاقدیس شمالی این گسل را پیش‌بینی کرد.

از دیدگاه ساختاری ساختمان‌های آفچیل، راز، غلامان و گیفان از ساختمان‌های اصلی این برش می‌باشند. براساس برش رسم شده مشخص است که ساختمان‌های جنوبی (تاقدیس‌های آفچیل و راز) نامتقارن است و شبیه لایه‌بندی شمالی آنها بیشتر از یال جنوبی می‌باشد (برخلاف تاقدیس‌های برش ۱) ولی به سمت شمال، تاقدیس غلامان شباهت‌هایی مانند تاقدیس گیفان در برش ۱ دارد. در این برش نیز کماکان طول موج تاقدیس‌ها متفاوت می‌باشد و نشان‌دهنده عملکرد افق‌های متعدد جدایش در چین‌خوردگی است. عدم تقارن تاقدیس‌ها سمت یکسانی نداشته و برخلاف برش ۱ سمت تقارن‌ها متفاوت است.

در این برش به طرز چشمگیری از شدت گسل‌ش امتدادلغز NW-SE کاسته شده است. مهم‌ترین گسل موجود در این برش گسل بزرگ مراوه‌تپه است که در شمال تاقدیس راز سبب جابجایی و قرارگیری واحدهای سازند آیتامیر در کنار (یا در روی؟) سازند سرچشمه شده است. افسار حرب (۱۳۷۳) از این گسل به عنوان یک ساختار بی‌سنگی که در



شکل ۸. (الف) رخمنون سازند زرد در کوه دوچنگ (ستاره سفید رنگ) در شمال خاور شهر آشخانه نسبت به موقعیت برش‌های عرضی در این پژوهش، ب) نمایی از واحدهای آهکی و آهک مارنی سازند زرد در کوه دوچنگ- دید به باختر



شکل ۹. (الف) موقعیت انجام مطالعات مگنتوتولوریک (مریع مشکی رنگ) توسط هاشمی و همکاران (۱۳۹۳) نسبت به برش ۲، ب) نتیجه مدل وارون دوبعدی مگنتوتولوریک در ساختمان کردن (MD TE)

(شکل ۱۰). طول این برش پس از بازسازی حدود ۵۹ کیلومتر محاسبه شد که براین اساس میزان کوتاهشده حدود ۱۱ درصد برآورد می‌شود. نکته قابل توجه در این برش تداوم رسوب‌گذاری و ضخامت زیاد رسوبات در ناویدیس شیخ (در حدود ۵۰۰۰ متر تا سر سازند شمشک) است که این امر نشان‌دهنده تداوم رسوب‌گذاری تا سازند خانگیران که جوان‌ترین رسوبات دریابی منطقه است، می‌باشد.

موازنہ برش ۲

این برش با قرار دادن خط نشانه در انتهای جنوبی آن از ابتدای برش تا ناویدیس شمال غلامان که لایه‌ها به تقریب افقی هستند بازسازی شد (شکل ۱۱). طول برش بازسازی شده حدود ۶۴ کیلومتر و میزان کوتاهشده به دست آمده حدود هشت درصد برآورد شده است.

بحث

همان‌طور که در قبل گفته شد، از دیدگاه چینه‌شناسی و رفتار مکانیکی سازندها مشخص است که سازندهای مژوزوئیک با توجه به کانی‌شناسی و ضخامت می‌توانند نقش سطوح جدایش یا فراکنش را بازی کنند. نتایج حاصل از مطالعات XRD در کپه‌داغ مشخص کرد سازندهای با سن ژوراسیک (کشف‌رود، شمشک و گاهی سازند مزدوران در کپه‌داغ خاوری با توجه به سنگ‌شناسی) و همچنین سازندهای سرچشمه، سنگانه و آیتمامیر پتانسیل ایجاد سطوح جدایش در این منطقه را دارند. ستبرای این سری از رسوبات در برخی مناطق به ۴۰۰۰ متر می‌رسد و کمترین ستبرای آن چیزی در حدود ۲۰۰۰ متر است. رسوبات این سری متشکل از مارن، شیل و ماسه‌سنگ است که قابلیت بازی نقش سطوح جدایش را دارد.

پس از رسم برش‌های ساختاری و بازسازی آنها برای محاسبه عمق تا سطح جدایش از آن برش‌ها استفاده شده است. در این محاسبات از مدل سازی^۳ بعدی برش‌ها در نرم‌افزار (موو) استفاده شده است (نوآوری پژوهش حاضر)

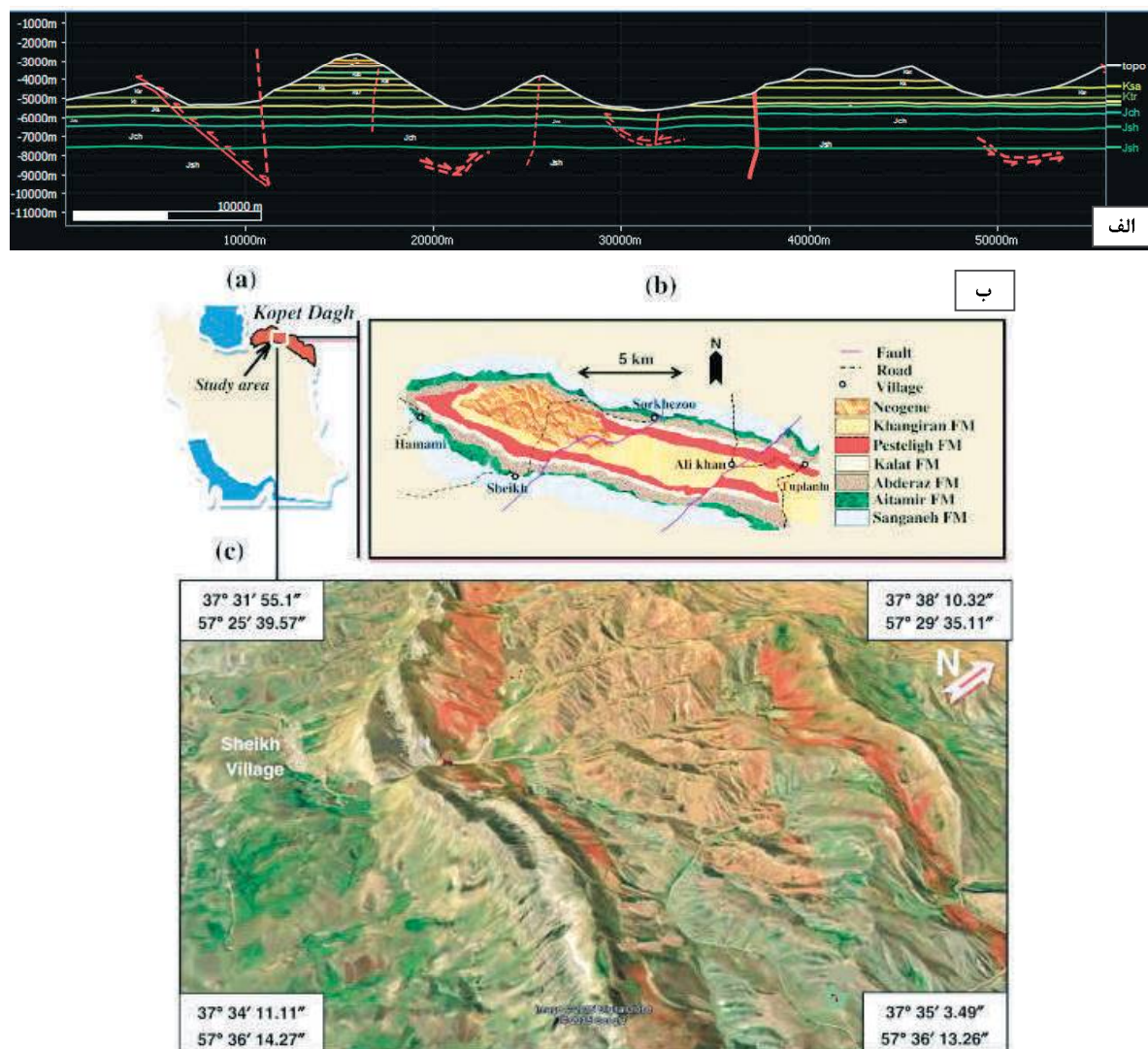
موازنہ و بازسازی برش‌ها

موازنہ برش‌ها، امکان آزمودن اعتبار هندسه ساختاری رسم شده در یک برش عرضی را فراهم می‌آورد (Dahlstrom, 1969; Elliot, 1983). روش موازنہ برش‌های عرضی در مطالعه کمریندهای دگر‌شکل شده‌ای که در آنها دگر‌شکلی گستردگی در لایه‌های سنگی بالایی یک گسل جدا کننده یا جدایش^۲ نیمه افقی رخ داده است، ارزش بالایی دارد (Rodgers, 1949, 1963). دگر‌شکلی‌های دارای سطح جدایش، علاوه بر آنکه در کمریندهای چین خورده-رانده به وجود می‌آیند و کوتاهشده‌گی پوسته با تشکیل گسل‌های رانده و چین‌های وابسته به آن همراه است (Hossack, 1979) در سرزمین‌های کافتی یا کششی که در آن نازک‌شدنگی پوسته با تشکیل گسل‌های عادی و چین‌های مربوط به آن همراه است، نیز رخ می‌دهد (Gibbs, 1983, 1984; Wernicke and Burchfiel, 1982). در این پژوهش از روش موازنہ طولی برش عرضی ساختاری برای موازنہ برش‌های عرضی استفاده شده که در آن موازنہ طول برش با تاکید بر حفظ طول و یکنواختی لایه انجام می‌گیرد (Marshak and Woodward, 1988). منظور از حفظ طول لایه، این است که طول یک مرز در برش عرضی در جریان دگر‌شکلی تعییر نمی‌کند. به عبارت دیگر اگر تمامی جزیيات سنگ‌های دگربرخت شده در ترازمندی برش، در نظر گرفته شود، این امر پیچیده می‌شود. بنابراین بازسازی و ترازمندی نیاز به سطح معینی از ساده‌سازی دارد. به این ترتیب برش‌های رسم شده در این پژوهش که به روش شکن^۳ رسم شده بودند، با قرار دادن خط نشانه در انتهای جنوبی برش‌ها و پیاده کردن طول مرز سازندها و گسل‌های مربوطه با توجه به ثابت در نظر گرفتن ضخامت لایه‌ها در نرم‌افزار تخصصی مow به حالت اولیه برگردانده شده است. در مرحله بعد، این برش‌ها با توجه به ماهیت و ویژگی‌های هر لایه، ضخامت لایه و جابجایی در راستای گسل‌ها بازسازی شده است.

موازنہ برش ۱

برش ۱ که با طول تقریبی ۵۳ کیلومتر رسم شده بود با قرار دادن خط نشانه^۴ در انتهای جنوبی آن بازسازی شد

1. Detachment
2. Decollment
3. Kink
4. Pin line



شکل ۱۰. (الف) بازسازی برش شماره ۱ در نرم افزار تخصصی موب-به ضخامت حدود ۵ کیلومتری رسوبات در ناویدیس شیخ توجه شود، (ب) تصویر ماهواره‌ای و نقشه زمین‌شناسی ساده از ناویدیس شیخ که رسوبات نثوزن در آن بروزند دارد



شکل ۱۱. بازسازی برش شماره ۲ در نرم افزار تخصصی موب

تاقدیس‌هایی که امکان محاسبه این فاکتور وجود دارد، محاسبه شد (جدول ۱). محاسبه‌های انجام شده در تاقدیس جنوبی منطقه (گوزلی‌داغ) سطوح جدایش را در واحدهای چمن‌بید (سن ژوراسیک میانی) نشان می‌دهد اما به سمت شمال، تاقدیس‌ها این واحد را در سازندهای ژرفتر و در

(شکل ۱۲). براین اساس سر سازند تیرگان (سن کرتاسه) به عنوان سر سازند مبنا انتخاب شده است. با استفاده از الزامات هندسی، عمق تا سطح جدایش (Z) براساس محاسبه مساحت زیر سطح چین خورده (S) تا خط عطف، طول مستقیم (L1) و طول چین خورده (L0) در

برآورده میزان کوتاه شدگی و نقش سطوح جدایش در دگر بختی کپه داغ باختری ...

مختلف واحدهای سنگی با حرکت راست بر شده اند ولی در برش ۲ این سامانه از گسل ها دیده نمی شوند.

از دیدگاه رسوبی در کپه داغ مرکزی در ناحیه ناو دیس

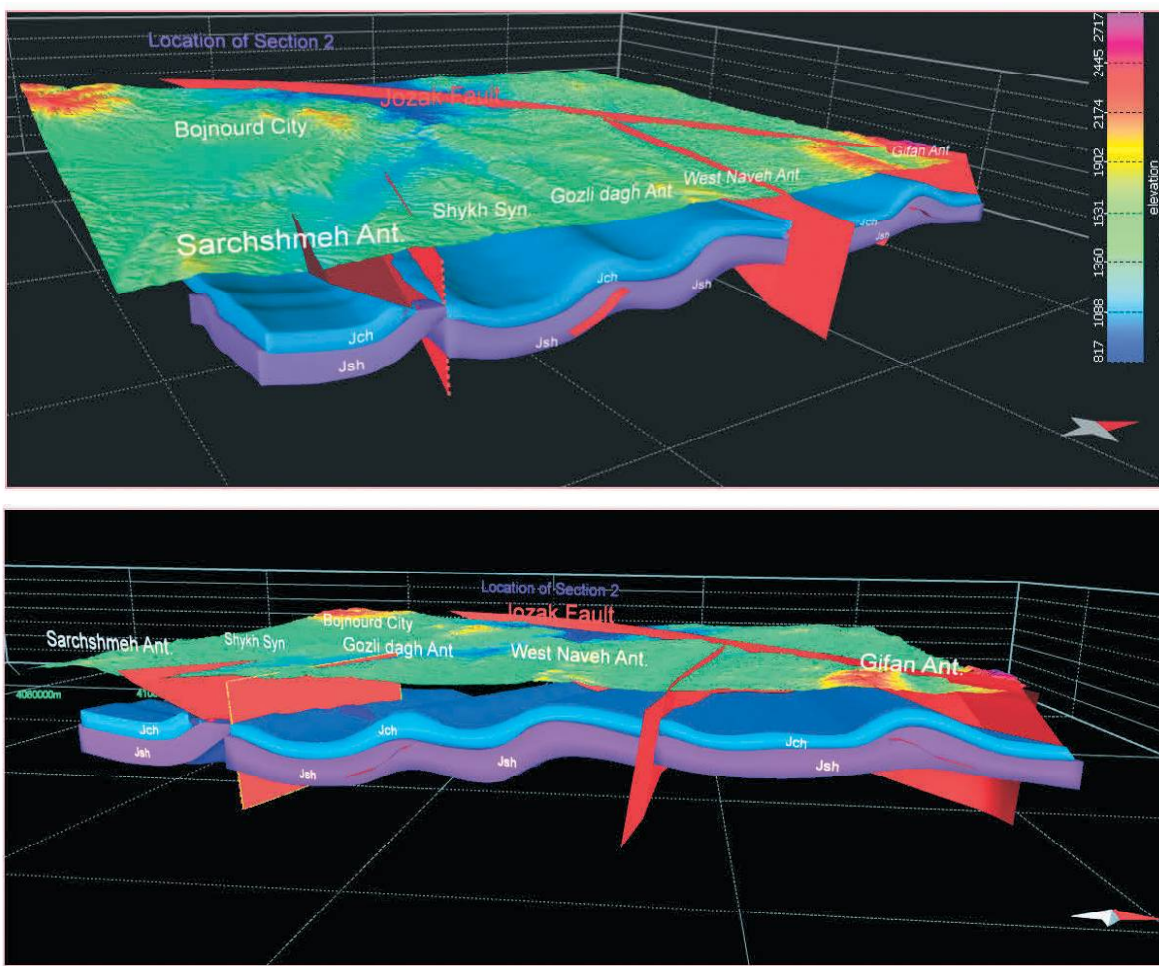
شیخ رسوبات سنوزوئیک قابل مشاهده است و پس از بازسازی ضخامتی در حدود ۵ کیلومتر را نشان می دهد، این در حالی است که در برش ۲ رسوبات جوان تراز سازند آیتمیر بروند ندارد. همچنین در برش ۱ سازند شوریجه در طول برش دیده می شود ولی در برش ۲ سازند زرد جایگزین آن سازند در ناحیه شده است.

طول برش ۱ پس از بازسازی حدود ۵۹ کیلومتر محاسبه شد که براین اساس میزان کوتاه شدگی حدود ۱۱ درصد در کپه داغ مرکزی و در برش ۲ حدود ۶۴ کیلومتر و میزان کوتاه شدگی به دست آمده حدود هشت درصد برآورد شده است.

واحدهای سازند کشف رود (و یا معادل آن شمشک) مشخص کرده اند که این موضوع از شاهه های دو برش رسم شده ۱ و ۲ در این منطقه می باشد.

مقایسه دو برش عرضی رسم شده در کپه داغ باختری و مرکزی در فاصله حدود ۵۰ کیلومتر از یکدیگر نشان می دهد تفاوت های مشخصی از دیدگاه ساختاری و رسوبی در این دو زیر پهنه وجود دارد. به طوری که در جنوب کپه داغ مرکزی (برش ۱) چین ها گرایش به جنوب دارند ولی در کپه داغ باختری (برش ۲) گرایش چین ها به سمت شمال است.

در شمال گسل مراوه تپه در برش ۲ چین ها کمی به سمت جنوب گرایش دارند که مانند برش ۱ است. از سوی دیگر در برش ۱ گسل های امتداد لغز شمال باختر جنوب خاور به فراوانی دیده می شوند که سبب جابجایی در مقیاس های



شکل ۱۲. مدل های سه بعدی از برش های ترسیمی تهیه شده بر اساس داده های موجود در این پژوهش در نرم افزار 3D Move

جدول ۱. نحوه محاسبه عمق سطح جدایش در تاقدیس‌های انتخاب شده در برش‌های ۱ و ۲ به تفکیک و ارائه نمونه از تاقدیس غلامان در محاسبه هندسی به حالت دوبعدی و تاقدیس گیفان به صورت سه‌بعدی در نرم‌افزار Move



نتیجه‌گیری

رسم برش‌های عرضی و بازسازی آنها اطلاعات ارزشمندی را در خصوص ساختارهای زمین‌ساختی، نحوه رسوب‌گذاری و ویژگی‌های مکانیکی رسوبات در اختیار قرار می‌دهد. در این پژوهش ۲ برش عرضی رسم شده توسط پورتتوی و همکاران (۱۳۹۰) در کپه‌داغ باختری و مرکزی انتخاب و بهروزرسانی شد. برش‌ها به‌گونه‌ای انتخاب شده‌اند که در فاصله حدود ۵۰ تا ۶۰ کیلومتری از یکدیگر در خاور طول ۵۷ E و باختر آن (مرز میان کپه‌داغ باختری و مرکزی براساس مطالعات (Hollingsworth et al., 2007) قرار گیرند. سپس پس از رسم برش‌ها و بررسی ساختارهای زمین‌ساختی، این برش‌ها در نرم‌افزار موسو بازسازی به صورت دوبعدی و سه‌بعدی رسم شده و میزان کوتاه‌شدگی در آن‌ها

در زمان فشارش نیز محل و شکل چین خوردگی‌ها را کنترل کند. براساس این مطالعات با افزایش عمق شیب این گسل پی‌سنگی در ژرف به سمت شمال-شمال باختر بوده و تا ژرفای ۱۰۰۰- متر اختلاف زیادی در مقدار شیب آن دیده نمی‌شود.

افق‌های جدایش میانی در هنگام چین خوردگی فعال شده و تا حدودی هندسه چین خوردگی را تحت تأثیر قرار داده‌اند، از جمله این تأثیرات می‌توان به گسترش تاقدیس‌های اقماری اشاره کرد. همچنین بررسی عمق سطوح جدایش براساس محاسبات هندسی در تاقدیس‌هایی که امکان محاسبه این پارامتر وجود داشت، نشان می‌دهد از سوی جنوب به سمت شمال سطح جدایش اصلی در ساختمان‌های شکل گرفته به سازندهای ژرف‌تر انتقال یافته است. بر این اساس سازند چمن بید به عنوان افق جدایش در بخش جنوبی برش‌های ترسیم شده و سازند کشفرود (معادل آن سازند شمشک) در بخش‌های شمالی، به عنوان افق جدایش نقش بازی می‌کنند.

بازسازی برش‌های عرضی نشان داد در برش ۱ میزان کوتاهشده‌گی حدود ۱۱ درصد و در برش ۲ میزان کوتاهشده‌گی به ۸ درصد می‌رسد. این کاهش میزان کوتاهشده‌گی با افزایش عرض پهنه کپه‌داغ به سمت باختر تطابق دارد. این مقدار کوتاهشده‌گی در مقایسه با کمربند کوهزاری زاگرس با بخش پیشانی آن که کوتاهشده‌گی حدود ۶ درصد را نشان می‌دهد (Sherketi et al., 2006) قابل مقایسه است.

منابع

- افشار حرب، ع.، ۱۳۷۳. زمین‌شناسی کپه‌داغ، انتشارات زمین‌شناسی و اکتشافات معدنی کشور، ۶۰۶.
- آقاباتی، ع.، ۱۳۸۵. زمین‌شناسی ایران، سازمان زمین‌شناسی و اکتشافات معدنی کشور، ۹۶۴-ISBN ۰-۶۱۷۸۱۳، ۶۱۰، ۰-۶۱۹-۸-۶۱۷۸۱۳.
- پورتقوی، ا.ن.، پورکرمانی، م.، قراییگلی، غ و شرکتی، ش.، ۱۳۹۰. الگوی چین خوردگی در بخش باختری کمربند چین خورد کپه‌داغ. فصلنامه علوم زمین، سازمان زمین‌شناسی و اکتشافات معدنی کشور، بهار ۹۳، ۱۵۳-۱۶۰.
- هاشمی، ن.، قائد رحمتی، ر.، مرادزاده، ع.، خوجم

محاسبه شده است. همچنین سطوح فراکنش با توجه به اهمیتی که در رسم برش‌های ساختاری دارند مورد بررسی قرار گرفته‌اند و سعی شد با دیدگاه مهندسی رفتار این سازندها بررسی و در نهایت در تاقدیس‌ها با توجه به داده‌های در دسترس عمق سطوح جدایش پیش‌بینی شود.

نتایج حاصل از این تحقیق عبارت است از: سازند شمشک (کشف‌رود) براساس نمونه‌های اخذ شده در این پژوهش و نتایج آنالیز XRD پتانسیل بیشتری نسبت به سازند چمن بید به عنوان سطوح جدایشی دارد. اغلب چین‌های محدوده مورد مطالعه از نوع نامتقارن هستند که به نظر می‌رسد عدم تقارن به‌واسطه کارکرد افق‌های جدایش ایجاد شده است. گرایش عمومی ساختارهای کپه‌داغ مرکزی در برش ۱ به سوی جنوب است، اما در کپه‌داغ باختری، در جنوب گسل مراوه‌تپه گرایش رو به شمال و در نزدیکی مرز ترکمنستان گرایش چین‌های بزرگ کمی به جنوب است. اما با توجه به طول زیاد تاقدیس‌ها، قرارگیری آنها در امتداد هم و قرارگیری گسل‌های مهم در امتداد چین خوردگی، می‌توان به این نکته پی‌برد که گسل‌های پی‌سنگی که چین خوردگی هرسی‌نین را کنترل کرده‌اند در چین خوردگی جوان‌تر ناحیه نیز نقش داشته‌اند. اختلاف ژرفای ناویدیس‌ها در منطقه که در برش‌ها مشهود است احتمالاً در ارتباط نزدیک با عملکرد گسل‌های امتدادلغز و با خاستگاه ژرف می‌باشد که تایید این موضوع نیاز به بررسی‌های بیشتر و داده‌های زیرسطحی دارد.

مقایسه برش ۱ و ۲ رسم شده از دیدگاه گسل خوردگی نشان می‌دهد در برش ۱ به فراوانی گسل‌های امتدادلغز شمال باختر-جنوب خاور با کارکرد راست بر دیده می‌شود که به نظر می‌رسد بخشی از کوتاهشده‌گی در عرض کپه‌داغ را در خود جبران می‌کنند. اما در برش ۲ این گسل‌ها بسیار اندک می‌باشند.

گسل مراوه‌تپه که به عنوان یک ساختار پی‌سنگی در تشکیل حوضه رسوی نقش داشته است در آخرین مراحل زمین‌ساختی به صورت معکوس و یا راندگی عمل کرده و بررسی برش‌های مگنتوتلوریک نشان داد این گسل علاوه بر آنکه در ایجاد حوضه رسوی گذاری نقش داشته، توانسته

- Caspian basin. *Geophysics Journal International*, 148, 214–245.
- Khormali, F. and Amini, A., 2015. Claymineralogy of the Jurassic-Tertiary rocks of the Kopet Dagh basin (northeastern IRAN): Implications for paleoclimate. *Acta Geodyn. Geomater*, 4, 180, 387–398.
 - Lyberis, N. and Manby, G., 1999. Oblique to orthogonal convergence across the Turan block in the Post-Miocene. *American Association of Petroleum Geologists Bulletin*, 83, 1135–1160.
 - Marshak, S. and Woodward, N., 1988. Basic methods of structural geology. (Introduction to cross section balancing), 299–318.
 - Robert, A.M.M., Letouzey, J., Kavoosi, M.A., Sherkati, S., Müller, C., Vergés, J. and Aghababai, A., 2014. Structural evolution of the Kopeh Dagh fold-and-thrust-belt (NE Iran) and interactions with the South Caspian Sea Basin and Amu Darya Basin. *Marine and Petroleum Geology* 57, 68–87.
 - Rodgers, J., 1949. Evolution of thought on structure of middle and southern Appalachian. *Advancing the World of Petroleum Geosciences Bulletin*, 33, 8, 1643–1654.
 - Rodgers, J., 1963. Mechanics of Appalachian foreland folding in Pennsylvania and west Virginia. *American Association of Petroleum Geosciences Bulletin*. 46, 8, 1527–1563.
 - Ruh, J. and Vergès, J., 2017. Effects of reactivated extensional basement faults on structural evolution of fold-and-thrust belts: Insights from numerical modelling applied to the Kopet Dagh Mountains. *Tectonophysics*, 493–511.
 - Sherkati, S., Letouzey, J. and Frizon de Lamotte, D., 2006. Central Zagros fold-thrust belt (Iran): New insights from seismic data, fiel-
- لی، ا.، نجاتی کلاته، ع و ایوبی، م.، ۱۳۹۳. آشکارسازی گسل رورانده مراوه تپه با استفاده از وارون سازی داده های مگنتوتولویریک. مجموعه مقالات شانزدهمین کنفرانس ژئوفیزیک ایران، اردیبهشت ۱۳۹۲، ۹۸–۱۰۲.
- Afshar Harb, A., 1979. The stratigraphy, tectonics and petroleum geology of Kopet Dagh region, northern Iran. Ph.D. thesis, Imperial College, London, 316.
 - Afshar Harb, A., 1994. Geology of KD. In: Hushmandza-deh, A. (Ed.), *Treatise on the Geology of Iran*. Geological Survey of Iran, Tehran, 275 (in Persian).
 - Berberian, M. and King, G.C.P., 1981. Towards a paleogeography and tectonic evolution of Iran. *Canadian Journal of Earth Sciences*, 18, 210–265.
 - Dahlstrom, C.D.A., 1969. Balanced cross sections. *Canadian Journal of Earth Sciences*, 6, 743–757.
 - Elliot, D., 1983. The construction of balanced cross-sections. *Journal of Structural Geology*, 5, 101.
 - Gibbs, A.D., 1983. Balanced cross-section construction from seismic sections areas of extensional tectonics. *Journal of Structural Geology*, 5, 153–160.
 - Gibbs, A.D., 1984. Structural evolution of extensional basin margins. *Journal of Geological Society of London*, 141, 609–620.
 - Hollingsworth, J., 2007. Active tectonics of NE Iran. Ph.D. thesis, Queen's College, University of Cambridge, 239.
 - Hossack, J., 1979. The use of balanced cross-sections in the calculation of orogenic contraction: A review. *Journal of the Geological Society*, 136, 705–711.
 - Jackson, J., Priestley, K., Allen, M. and Jackson, M., 2002. Active tectonic of the south